

Übung zum Fach Rechnerunterstützte Mechanik I

J. Ruck, H. Erdle, T.-A. Langhoff, T. Böhlke

Chair for Continuum Mechanics
Institute of Engineering Mechanics
Department of Mechanical Engineering
Karlsruhe Institute of Technology (KIT)

WS 2017/2018



Ü6/Ü7: Differentialoperatoren

Themen der 6. und 7. Übung

- Numerisches Differenzieren ortsabhängiger Funktionen (2d):
Finite Differenzen Methode (FDM) für die Operatoren

$$\partial_x \bullet, \partial_y \bullet, \text{grad} \bullet, \text{div} \bullet$$

- Lösung der stationären Wärme Gleichung mit der FDM
- Darstellung der Lösung

Idee

Taylorreihen-Entwicklung

$$f(x + \delta x, y + \delta y) = f(x, y) + \delta x \partial_x f(x, y) + \delta y \partial_y f(x, y) + O(\delta x \delta y, \delta x^2, \delta y^2)$$

Im Folgenden gilt $(i, j \in \{1, \dots, N + 1\})$

$$(x_i, y_j) = ((i - 1)h, (j - 1)h) \quad (\text{Gitterparameter } h = 1/N)$$

Eine solche Unterteilung wird als **äquidistantes Gitter** bezeichnet.

Approximation der partiellen Ableitung durch den Differenzenquotienten

$$\begin{aligned} f(x + \delta x, y) &= f(x, y) + \delta x \partial_x f(x, y) + O(\delta x^2) \\ \Rightarrow \partial_x f(x, y) &\approx \frac{f(x + \delta x, y) - f(x, y)}{\delta x}, \\ f(x, y + \delta y) &= f(x, y) + \delta y \partial_y f(x, y) + O(\delta y^2) \\ \Rightarrow \partial_y f(x, y) &\approx \frac{f(x, y + \delta y) - f(x, y)}{\delta y}, \end{aligned}$$

Für äquidistante Gitter

Definition $f_{(i,j)} = f(x_i, y_j)$

Dann gilt:

$$\begin{pmatrix} \partial_x f_{(i,j)} \\ \partial_y f_{(i,j)} \end{pmatrix} = \frac{1}{h} \begin{pmatrix} f_{(i+1,j)} - f_{(i,j)} \\ f_{(i,j+1)} - f_{(i,j)} \end{pmatrix}$$

Übergang auf vektorwertige Schreibweise ($i, j \in \{1, \dots, N+1\}$)

$$f_{(i,j)} \rightarrow \hat{f}_{I_{i,j}}, \quad I_{i,j} = i + (j-1)(N+1), \quad \hat{f} \in \mathbb{R}^{(N+1)^2}$$

Motivation: Übergang auf lineare Gleichungssysteme möglich

Matrizenschreibweise für Differentiation:

$$\left(\partial_x \hat{f} \right)_{I_{i,j}} = \partial_x f(x_i, y_j) = \frac{1}{h} (e_{I_{i+1,j}} - e_{I_{i,j}})^\top \hat{f},$$

$$\left(\partial_y \hat{f} \right)_{I_{i,j}} = \partial_y f(x_i, y_j) = \partial_y \hat{f} \cdot e_{I_{i,j}} = \frac{1}{h} (e_{I_{i,j+1}} - e_{I_{i,j}})^\top \hat{f}$$

Darstellung in Matrizenform

Achtung: An den Rändern bei $i, j = 1$ und $i, j = N + 1$ nicht gültig!

Randwerte:

$$\partial_x \hat{f}_{I_{i,j}} = \frac{1}{h} (e_{I_{i,j}} - e_{I_{i-1,j}})^\top \hat{f} \quad (i = N + 1),$$

$$\partial_y \hat{f}_{I_{i,j}} = \frac{1}{h} (e_{I_{i,j}} - e_{I_{i,j-1}})^\top \hat{f} \quad (j = N + 1)$$

Matrizenschreibweise

$$D_x = \sum_{i=1}^N \sum_{j=1}^{N+1} \left\{ \frac{1}{h} e_{I_{i,j}} (e_{I_{i+1,j}} - e_{I_{i,j}})^\top \right\} \quad (\text{'innere' Punkte})$$

$$+ \sum_{j=1}^{N+1} \left\{ \frac{1}{h} e_{I_{N+1,j}} (e_{I_{N+1,j}} - e_{I_{N,j}})^\top \right\} \quad (\text{Rand-Punkte}),$$

$$D_y = \sum_{i=1}^{N+1} \sum_{j=1}^N \left\{ \frac{1}{h} e_{I_{i,j}} (e_{I_{i,j+1}} - e_{I_{i,j}})^\top \right\} \quad (\text{'innere' Punkte})$$

$$+ \sum_{i=1}^{N+1} \left\{ \frac{1}{h} e_{I_{i,N+1}} (e_{I_{i,N+1}} - e_{I_{i,N}})^\top \right\} \quad (\text{Rand-Punkte})$$

Beispiel

$N = 2$, $h = 1$: (d.h. 3 Knoten in jeder Koordinatenrichtung,
 $\Omega = [0, 2] \times [0, 2]$)

$$D_x = \begin{pmatrix} -1 & 1 & & & & & & & \\ & -1 & 1 & & & & & & \\ & & -1 & 1 & & & & & \\ & & & & -1 & 1 & & & \\ & & & & & -1 & 1 & & \\ & & & & & & -1 & 1 & \\ & & & & & & & -1 & 1 \\ & & & & & & & & -1 & 1 \end{pmatrix},$$

$$D_y = \begin{pmatrix} -1 & & & 1 & & & & & \\ & -1 & & & 1 & & & & \\ & & -1 & & & 1 & & & \\ & & & -1 & & & 1 & & \\ & & & & -1 & & & 1 & \\ & & & & & -1 & & & 1 \\ & & & & & & -1 & & \\ & & & & & & & -1 & \\ & & & & & & & & -1 \end{pmatrix}$$

Achtung: Die Matrizen sind *nicht* regulär (z.B. 2. & 3. Zeile von D_x)

Berechnung weiterer Differentialoperatoren

$$\operatorname{div}(f(x, y)) = \partial_x f(x, y) + \partial_y f(x, y)$$

$$\Rightarrow D_{\nabla} \hat{f} = (D_x + D_y) \hat{f},$$

$$\operatorname{grad}(f(x, y)) = \left(\partial_x f(x, y), \quad \partial_y f(x, y) \right)$$

$$\Rightarrow D_{\nabla} \hat{f} = \left(D_x \hat{f}, \quad D_y \hat{f} \right),$$

$$\operatorname{div}(\operatorname{grad}(f(x, y))) = \partial_{x^2}^2 f(x, y) + \partial_{y^2}^2 f(x, y)$$

$$\Rightarrow D_{\nabla \cdot \nabla} \hat{f} = (D_x D_x + D_y D_y) \hat{f}$$

Verbesserung der Konsistenzordnung

Analog zum 1d Fall (4. Übung): Anwendung der Mittelpunkregel mit

$$I_{i,j} = i + (j - 1)(N + 1) \quad (i, j = 1, \dots, N + 1)$$

ergibt:

$$\partial_x \hat{f}_{I_{i,j}} = \frac{\hat{f}_{I_{i+1,j}} - \hat{f}_{I_{i-1,j}}}{2h} + \mathcal{O}(h^2),$$

$$\partial_y \hat{f}_{i,j} = \frac{\hat{f}_{I_{i,j+1}} - \hat{f}_{I_{i,j-1}}}{2h} + \mathcal{O}(h^2),$$

Aufgabe: Implementierung in Matrizenform

Achtung: Mittelpunkregel am Rand nicht möglich (vgl. 1d)

Lösung der Wärmegleichung

Wärmegleichung

(E : innere Energie, \mathbf{v} : Geschwindigkeitsfeld,
 p, s : Produktions-/Zufuhrterm, κ : Wärmeleitkoeffizientenz)

$$\dot{E} + \operatorname{div} (E\mathbf{v}) = p + s + \operatorname{div} (\mathbf{q}) = p + s - \kappa \operatorname{div} (\operatorname{grad} (\theta))$$

Annahmen: $p = s = 0$, $\mathbf{v} = \mathbf{0}$, $E = \rho c \theta$, $\dot{\rho} = \dot{c} = 0$

$$\rho c \dot{\theta} = -\kappa \operatorname{div} (\operatorname{grad} (\theta)) = -\kappa \Delta \theta$$

Stationärer Zustand $\rightarrow \dot{\theta} = 0$

$$\Delta \theta = 0 \quad (\text{Poisson-Problem})$$

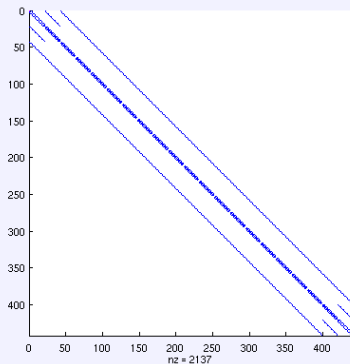
Randbedingungen

$$\theta = \theta_0(x) = a(\sin(\omega x) + \sin(\omega y)) \quad (\omega > 0, x \in \partial\Omega)$$

Ergebnisse

Eigenschaften der Systemmatrizen

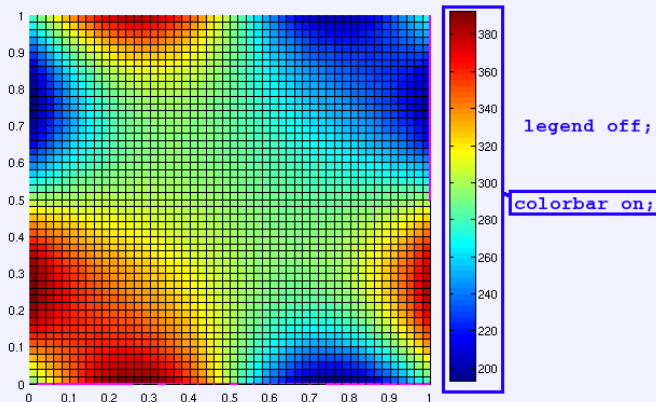
- Ohne Randbedingungen: LAPLACE ist **nicht symmetrisch**
- Nach Einbindung der Randdaten: LMOD ist **spd**



Ergebnisse

Eigenschaften der Systemmatrizen

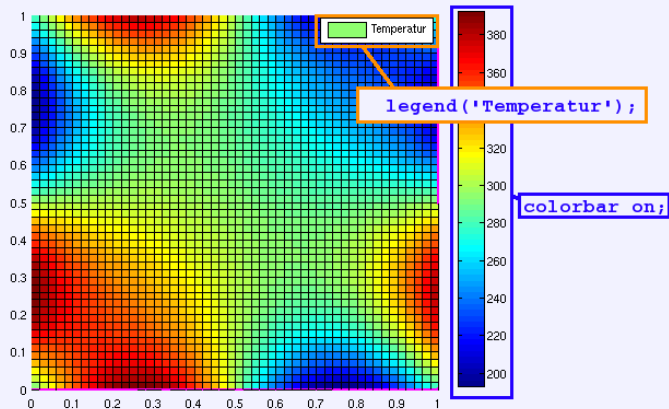
- Ohne Randbedingungen: LAPLACE ist **nicht symmetrisch**
- Nach Einbindung der Randdaten: LMOD ist **spd**



Ergebnisse

Eigenschaften der Systemmatrizen

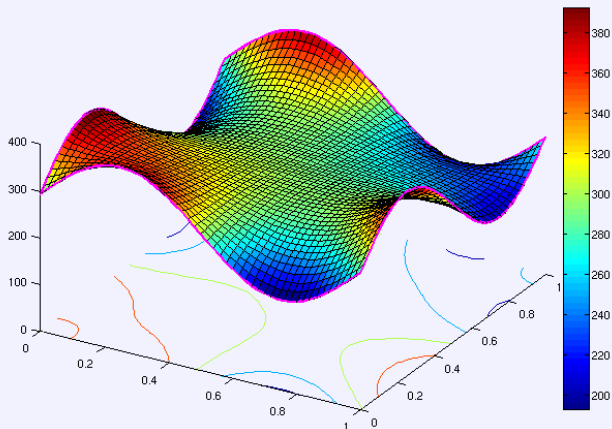
- Ohne Randbedingungen: LAPLACE ist **nicht symmetrisch**
- Nach Einbindung der Randdaten: LMOD ist **spd**



Ergebnisse

Eigenschaften der Systemmatrizen

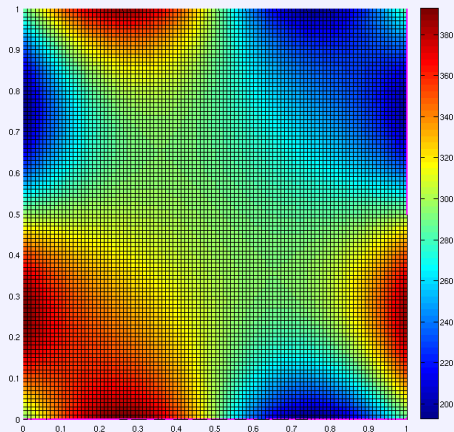
- Ohne Randbedingungen: LAPLACE ist **nicht symmetrisch**
- Nach Einbindung der Randdaten: LMOD ist **spd**



Ergebnisse

Eigenschaften der Systemmatrizen

- Ohne Randbedingungen: LAPLACE ist **nicht symmetrisch**
- Nach Einbindung der Randdaten: LMOD ist **spd**



Ausblick

[10] Vektor-Matrix-Notationen für symmetrische Tensoren:

- Hooke'sches Gesetz in Vektor-Matrixform
- Eigenwerte und Eigenprojektoren von Tensoren 4.Stufe
- Rotation des Elastizitätstensors

[11] Numerische Integration:

- Newton-Cotes-Quadratur
- Gauss-Christoffel-Quadratur [Testat 2]

[12] Ansatzfunktionen für Finite Elemente:

- Lineare und quadratische Ansatzfunktionen (1d)
- Schwache Formulierung des elastischen Randwertproblems

[13] Matrix-Verschiebungsmethode (1d Feder-Systeme)

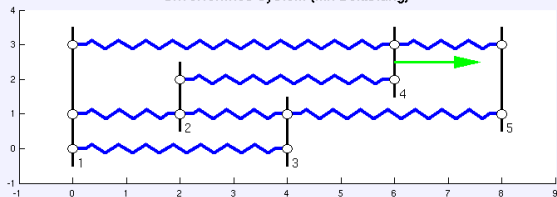
[14] Matrix-Verschiebungsmethode (2d Stabwerke)

[15] Finite Elemente 1d (lineare Ansatzfunktionen) [Testat 3]

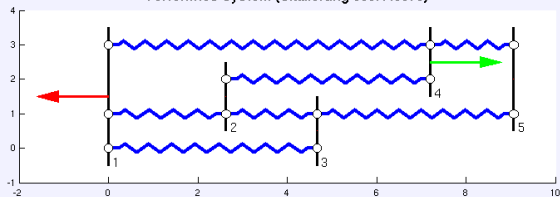
[16] Finite Elemente 1d (quadratische Ansatzfunktionen)

'Teaser'

Unverformtes System (mit Belastung)

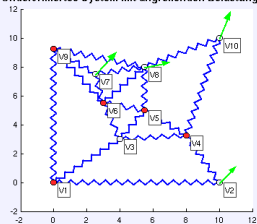
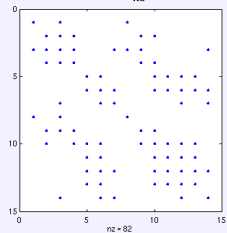


Verformtes System (Skalierung 986.440678)

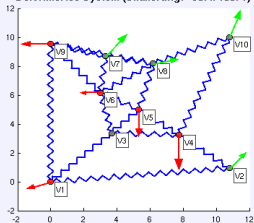


'Teaser'

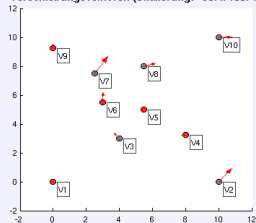
Undeformiertes System mit angreifenden Belastungen

Besetzung von K_{red} (dim: 14)

Deformiertes System (Skalierung: 937.713871)

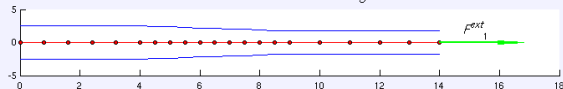
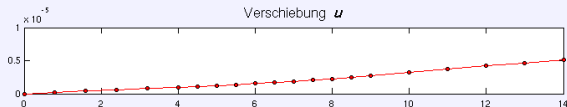
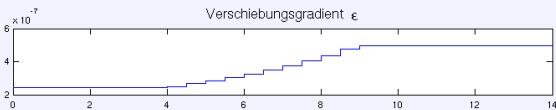


Verschiebungsvektoren (Skalierung: 937.713871)

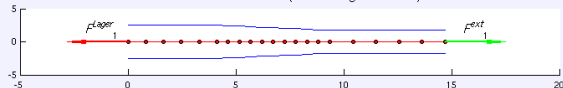


'Teaser'

Geometrie und Belastung

Verschiebung u Verschiebungsgradient ϵ 

Verformte Geometrie (Skalierung 2.800000)



'Teaser'

